

# اثر اکسیدهای مخلوط زیرکونیم و تنگستن بر روی فعالیت کاتالیزور Pt-HMS در واکنش ریفرمینگ کاتالیزوری نرمال هپتان

نسترن پارسافرد، محمد حسن پیروی\* و سپیده صفوی

دانشکده شیمی دانشگاه شهید بهشتی، تهران، ایران

تاریخ دریافت: ۹۲/۱۲/۶ تاریخ پذیرش: ۹۳/۸/۱۴

## چکیده

در این پژوهش یک سری از کاتالیزورهای Pt/W-Zr-HMS به منظور استفاده در واکنش ریفرمینگ با نسبت‌های مولی متغّری از Si/Zr تهیّه شد و سطح آنها با استفاده از تهشیت  $\text{WO}_3$  اصلاح گردید. کاتالیزورهای تهیّه شده با استفاده از روش‌های TPD-XRD، جذب شیمیایی  $\text{H}_2$  و نیتروزن شناسایی شد. اثر مقادیر مختلف زیرکونیم بر فعالیت و گزینش‌پذیری در محدوده دمایی  $200\text{--}500^\circ\text{C}$  مقایسه گردید. نتایج نشان می‌دهد که با افزایش تلفیق Zr و W در ساختار کاتالیزورهای Pt-HMS، اسیدیته کاتالیزورها بیشتر شده و فعالیت و گزینش‌پذیری کاتالیزوری برای محصولات مطلوب (محصولات ایزومریزاسیون) با کاهش مقدار Si/Zr (یا افزایش محتوای زیرکونیم) افزایش می‌یابد. طبق نتایج به‌دست آمده، کاتالیزورهای مزوحفره فعالیت بالا و گزینش‌پذیری خوبی برای محصولات مطلوب دارند. گزینش‌پذیری بالا برای محصولات موردنظر مخصوصاً ایزومرهای چندشاخه و غیاب بنزن، مزیت اصلی این کاتالیزورهای است. بهترین گزینش‌پذیری  $\text{i-C}_7$ -بر خلاف خواص اسیدیتی، برای  $\text{Pt/W-Zr(35)-HMS}$  در  $T=200^\circ\text{C}$  به‌دست آمد.

**کلمات کلیدی:** W-Zr-HMS، واکنش ریفرمینگ، کاتالیزورهای مزوحفره، گزینش‌پذیری  $\text{i-C}_7$ .

اکтан نام دارد. عدد اکтан معیاری است قراردادی که میزان بهسوزی سوخت را نشان می‌دهد و طبق قرارداد برای ایزواکتان، که بهترین سوخت است، برابر  $100^\circ$  و برای نرمال هپتان، که بدترین سوخت است، برابر صفر تعیین شده است. آروماتیک‌های دارای بالاترین عدد اکтан هستند و پس از آنها پارافین‌های پرشاخه قرار دارند و پایین‌ترین عدد اکтан متعلق به پارافین‌های خطی است.

## مقدمه

ریفرمینگ کاتالیزوری یکی از واحدهای اساسی پالایشگاه‌ها با هدف افزایش عدد اکтан بنزین است. در این فرآیند، نفتای سبک (هیدروکربن‌های ۶ و ۷ کربنی) به هیدروکربن‌های آلیفاتیک شاخه‌دار و آروماتیک‌ها تبدیل می‌شود [۱]. توانایی متراکم شدن سوخت قبل از احتراق خودبه‌خودی، عدد

طريق اصلاح ساختار اين ترکيبات با وارد کردن یون های خارجی به درون ساختار [۷-۵] افزایش داد. کارایی مزوفره ها از طريق ايجاد مكان های فعال در دیواره آنها و یا نشاندن گونه های فعال بر روی سطح داخلی سیلیکات، افزایش می باید. مطالعات زيادي درخصوص تاثير وارد کردن هترواتم هایي نظير B, Ca, Fe, Al, Ti, Zr به ساختار سیلیسي می دهد به منظور اصلاح ترکيب دیواره معدنی انجام شده است. جايگزینی سیلیکات با سایر عناصر، امكان تغيير در اسيديته و همچنین تأثير بر روی اندازه منافذ را، مشابه زئوليت ها، فراهم می کند [۸].

مطالعات انجام شده نشان می دهد کاتالیزورهای حاوي زيرکونيوم (Zr)، فعالیت بالایی دارند. در صورت جايگزینی یون های سیلسیم (Si) موجود در ساختار مزوفره با یون های زيرکونيوم، مزوفره های اصلاح شده، سطح بزرگ تر، پايداري حرارتی بالاتر و اسيديته سطحی بيشتری خواهند داشت. از طرف ديگر زيرکونيوم باعث بالا رفتن استحکام مواد سنتز شده می شود. عموماً یون های زيرکونيوم موجود در مواد مزوساختار، برای مواد واکنش دهنده در دسترس تراند، زیرا اکثر آنها به دليل تمایل به پذيرفتن عدد كثوردیناسيون بالا در سطح دیواره منافذ قرار گرفته اند. علاوه بر اين، گزارش ديگري ارائه شده است که در آن به واسطه برهم كنش قوي بين تنگستن (W) و گروه های هيدروكسيل موجود در ساختار پايه، تعداد مكان های اسيدي برونشتاد نسبت به پايه خالي افزایش می باید [۹]. تحقیقات نشان داده اند که زيرکونيوم حاوي اکسید تنگستن و یا اکسید مولبیدن، فعالیت کاتالیزوری بالایی در واکنش هایی نشان می دهد که به خاصیت اسيدي قوي نياز دارند. حضور یون های Zr در ساختار پايه، باعث می شود تعداد پيوندهای انتهایی تنگستن (W=OT) در مقایسه با حالتی که W فقط در بافت پايه به کار می رود، افزایش می باید (W-O-W).

طى سال های گذشته کاتالیزورهای ريفرمينگ، موضوع تحقیقات گسترده ای بوده است. با گسترش صنایع اتومبیل سازی و استفاده از موتورهای بنزینی با نسبت تراکم بالا، تقاضا برای سوخت های با عدد اكتان بالا افزایش یافته و بدین ترتیب روز به روز بر اهمیت ريفرمينگ افزوده شده است. بررسی های انجام شده در این زمینه نشان می دهد که این واکنش بر روی کاتالیزورهای دوعاملی شامل فلزات نجیب<sup>۱</sup>، که بر روی پايه های اسيدي نشانده شده اند، انجام پذير است. واکنش های اصلی صورت گرفته در فرآيند ريفرمينگ، هيدروژن زدایی، ايزومره شدن، حلقه ای شدن همراه با هيدروژن زدایی و هيدروکراکينگ پارافين ها هاستند. در اين ميان نقش فلز در اين کاتالیزورها، سرعت دادن به واکنش های هيدروژن دار کردن- هيدروژن زدایی است [۱].

طى چند دهه اخیر محققان توجه زيادي به تبديل آلkan ها بر روی کاتالیزورهای اسيدي جامد با منافذ بزرگ نظير غربال های مولکولي مزوفره داشته اند. يكى از ويزگى های مهم اکسیدهای مزوفره منظم، سطح ويزه بالای آنهاست که با استفاده از اين خصوصیت می توان گونه های فعال را با پراکندگی بسیار خوب بر روی این ترکيبات به عنوان پايه قرار داد. مزوفره ها را می توان به عنوان پايه برای فلزات، اکسیدهای فلزی و همچنین به عنوان میزان برای نگه داشتن گونه ها به شكل فضاگرین (انانتیو) در کاتالیزورها استفاده کرد. این در حالی است که خود این مواد نيز می توانند به عنوان کاتالیزور استفاده شوند. از آنجا که غربال های مولکولي مزوفره به واسطه ساختار شیمیایی خنثی دارای اسيديته لوویس خيلی کم و همچنین فاقد اسيديته برونشتاد هستند، نمی توانند به عنوان کاتالیزور یا پايه کاتالیزور در واکنش هایی که به مكان های با اسيديته برونشتادی نسبتاً قوي نياز دارند، استفاده شوند. با وجود اين می توان اسيديته سطحی اين مواد مزوفره را از طريق پيوند زدن گونه های با اسيديته قوي بر سطح اين ترکيبات [۴-۲] و یا از

پلاتین بر روی پایه‌های HMS و  $\text{W/Zr(x)-HMS}$  با نسبت مولی متغیر از زیرکونیم  $(35:20:10)$  و نسبت مولی ثابت  $12\%$  تنگستن، با غلظت مناسبی از  $\text{H}_2\text{PtCl}_6 \cdot 6\text{H}_2\text{O}$  به عنوان منبع پلاتین به روش تلقیح تهیه شد. پس از بخار شدن حلال و خشک شدن، کاتالیزورهای حاوی  $\text{Pt}$  در دمای  $300^\circ\text{C}$  به مدت ۴ ساعت در جریان هوا کلسینه گردید. برای انجام تست فعالیت،  $1\text{ gr}$  از کاتالیزور مورد نظر درون راکتور، که دمای آن توسط پوشش حرارتی متصل به کنترل کننده دمایی تنظیم می‌گردد، قرار داده شد. دستگاهی که برای این کار مورد استفاده قرار گرفت، شامل اجزای زیر است:

۱- سیلندرهای گاز هیدروژن جهت تامین جریان گاز موردنیاز واکنش؛

۲- فلومتر جهت تنظیم سرعت گاز ورودی به راکتور؛

۳- استوانه‌های حاوی سیلیکاژل برای خشک نمودن گاز ورودی؛

۴- دستگاه تزریق خوارک مایع جهت تزریق هیدروکربن زنجیری (هپتان) با دبی مشخص؛  
۵- راکتور شیشه‌ای بستر ثابت از جنس پیرکس که مقدار معینی کاتالیزور برای انجام واکنش در داخل آن قرار می‌گیرد؛

۶- کوره حرارتی جهت تامین دمای لازم برای انجام واکنش؛

۷- ترموموپل نوع K جهت اندازه‌گیری دمای کوره حرارتی (دمای بستر راکتور)؛

۸- لوله استیل ضدزنگ جهت انتقال محصولات به صورت مستقیم (آنلاین) به کروماتوگرافی گازی (GC) همراه با پوشش حرارتی برای جلوگیری از مایع شدن محصولات در لوله؛

۹- دستگاه کروماتوگرافی گازی که به خروجی راکتور وصل شده است و به طور مستقیم گاز خروجی را که به کمک یک شیر تزریق نمونه گازی (شیر شش راهه) به ستون کروماتوگرافی تزریق می‌شود، تجزیه می‌کند. بدین روش گاز خروجی از راکتور

می‌توان این گونه توجیه کرد که در پیوند  $\text{W=OT}$  اتم‌های تنگستن از نظر الکترونی، در مقایسه با اتم‌های تنگستن موجود در پیوند  $\text{W-O-W}$ ، اشباع‌شده هستند و همین عامل باعث افزایش برهم‌کنش گونه‌های تنگستن با پایه می‌شود. منظور از پیوندهای انتهایی، پیوندهای دوگانه موجود در انتهای زنجیر است [۱۰ و ۱۱]. یکی از مناسب‌ترین غربال‌های مولکولی که اخیراً مورد توجه محققان قرار گرفته HMS، یک مزوحفره سیلیکاتی هگزاگونال، با حفرات کرمی‌شکل است. روش تهیه این غربال بسیار آسان است و می‌توان از آن به عنوان یک پایه اصلاح‌شده برای واکنش‌های کاتالیزوری استفاده کرد. در پژوهش حاضر، اصلاح دوگانه پایه HMS با وارد کردن تنگستن جهت بهبود اسیدیتۀ سطح و زیرکونیوم به منظور اصلاح ساختار و اسیدیتۀ انجام و سپس فعالیت کاتالیزوری نمونه‌های تهیه‌شده در واکنش ریفرمینگ  $n\text{-هپтан}$  بررسی شده است. قابل ذکر است طبق مطالعات انجام‌شده تاکنون، هیچ گزارشی مبنی بر استفاده از این کاتالیزور در فرآیند ریفرمینگ ارائه نشده است.

## بخش تجربی

پایه‌های  $\text{HMS}$  و  $\text{Zr(x)-HMS}$  طبق روش سل-ژل [۱۱] سنتز گردید. در این روش با استفاده از مقادیر معینی از زیرکونیل نیترات، به عنوان منبع زیرکونیم، پایه‌های  $\text{Zr(x)-HMS}$  تهیه شد که  $x$  در آن نسبت  $\text{Si/Zr}$  و برابر با  $10$ ،  $20$  و  $35$  است. جامد به دست آمده صاف و در دمای  $110^\circ\text{C}$  در طول شب خشک شد. سپس در دمای  $600^\circ\text{C}$  به مدت ۶ ساعت در جریان هوا کلسینه گردید. برای تهیه کاتالیزور  $\text{W/Zr(x)-HMS}$  از روش تلقیح و مقدار معینی آمونیوم متا تنگستات به عنوان منبع تنگستن استفاده شد. کاتالیزور تهیه شده، پس از تبخیر حلال و خشک شدن در دمای  $300^\circ\text{C}$ ، به مدت ۴ ساعت در جریان هوا مجدداً کلسینه گردید. علاوه بر این کاتالیزورهای  $0.16\%$  وزنی

خوراک مایع با دبی ۲ ml/hr با جریان مشخصی از گاز هیدروژن به داخل راکتور تزریق و واکنش ریفرمینگ با استفاده از سیستم راکتوری انجام شد. در نهایت محصولات به صورت کیفی و کمی آنالیز شدند. پارامترهایی که در پژوهش حاضر مورد بررسی قرار گرفته اند عبارت‌اند از:

۱- نوع کاتالیزور: فعالیت کاتالیزور، گزینش پذیری و توزیع محصولات واکنش با تهییه کاتالیزور Pt/W-Zr(x)-HMS که در آن مقادیر نسبت مولی Si/Zr (نسبت‌های مولی ۱۰، ۲۰ و ۳۵) متفاوت است، ارزیابی شد؛

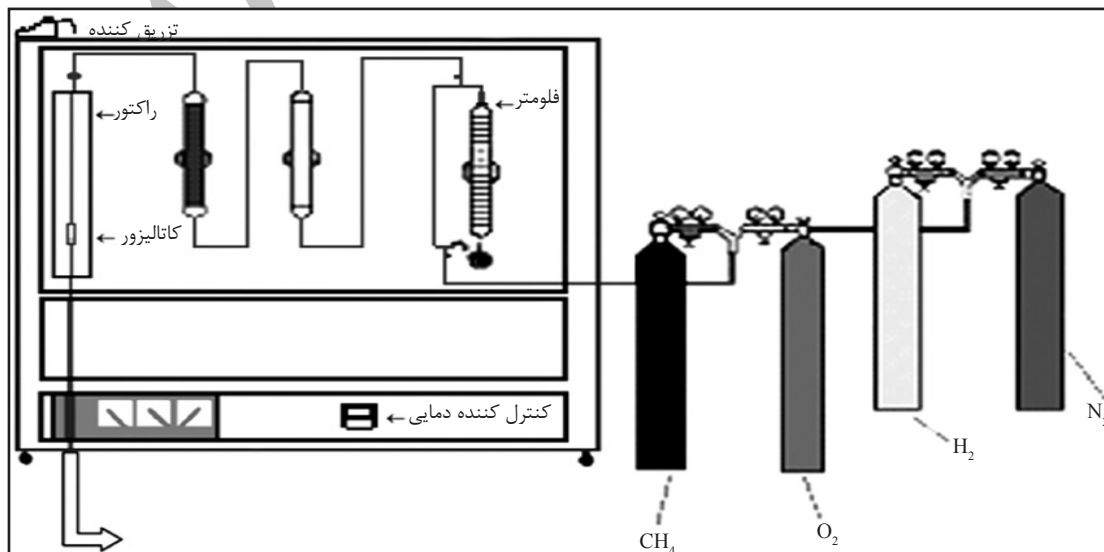
۲- دمای واکنش: واکنش ریفرمینگ n-هپтан در محدوده دمایی ۲۰۰-۵۰۰ °C مطالعه و تاثیر آن بر عملکرد کاتالیزور و توزیع محصولات واکنش بررسی شد.

نخستین تست برای شناسایی کاتالیزورهای سنتز شده، آنالیز پراش اشعه ایکس است که برای شناسایی ساختار، خلوص فاز، درجه کریستاله شدن، پارامترهای سلول واحد و اندازه کریستالی به کار می‌رود. همچنین این روش به مطالعه سینتیک کریستاله شدن غربال‌های مولکولی کمک می‌کند.

طی واکنش چندین بار در بازه زمانی دلخواه تجزیه می‌گردد. لازم به ذکر است که خوراک مایع (هپتان) و گاز ورودی (هیدروژن) توسط یک سه‌راهی شیشه‌ای، که در بالای راکتور قرار دارد، مخلوط می‌شوند و پس از عبور از بستر کاتالیزور و انجام واکنش، محصول توسط دستگاه GC متصل به خروجی راکتور مستقیماً تجزیه می‌گردد. برای شناسایی کیفی محصولات، طیف GC-MS نمونه با کمک دستگاه Termo GC-MS مدل ۶۸۹۰ گرفته شد. پس از شناسایی کیفی محصولات واکنش، آنالیز کمی محصولات صورت گرفت تا با استفاده از آن، درصد تبدیل و گزینش پذیری کاتالیزورها نسبت به محصولات مختلف واکنش تعیین گردد (شکل ۱).

### نتایج و بحث

ریفرمینگ کاتالیزوری n-هپтан در حضور هیدروژن، در گستره دمایی ۲۰۰-۵۰۰ °C و در فشار ۱ atm یک میکروراکتور بستر ثابت صورت گرفت. ابتدا کاتالیزورها در دمای ۴۵۰ °C به مدت ۲ ساعت در حضور هیدروژن با دبی ۴۰ ml/min (فلوی بهینه شده) احیا شد. سپس هپтан خالص توسط دستگاه تزریق



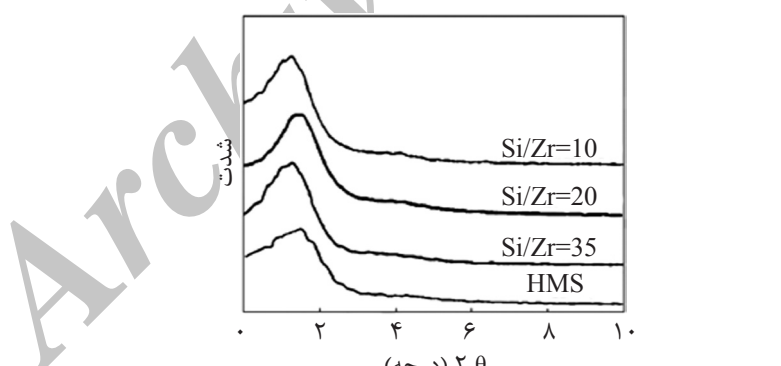
شکل ۱ سیستم آزمایش‌های راکتوری.

می‌تواند پراکندگی بالای اکسید فلزی ( $\text{WO}_3$ ) باشد. همچنین می‌توان اینگونه توجیه کرد که ذرات W به قدر کافی کوچک هستند و به خوبی روی سطح Zr-HMS پخش شده‌اند و یک برهمنکش قوی بین W با پایه HMS ایجاد شده است که قابل شناسایی با XRD نیست.

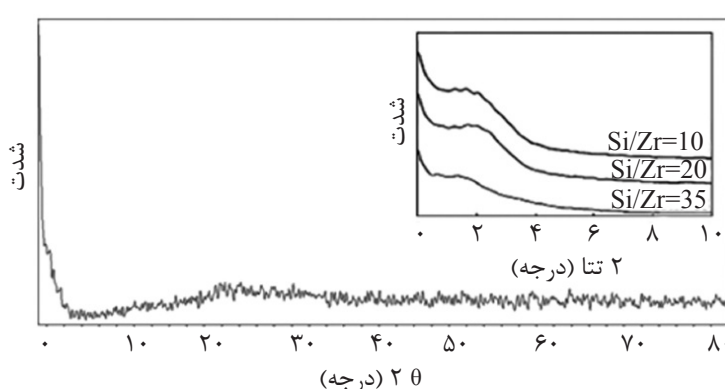
به منظور بررسی تاثیر تلقیح فلز بر روی ساختار پایه‌های مختلف، از نمونه کاتالیزوری با نسبت  $\text{Si}/\text{Zr}=10$  پس از تلقیح با فلز پلاتین، XRD زاویه بالا ( $80^\circ-10^\circ$ ) گرفته شد (شکل ۳). نتایج حاصل از XRD برای این ترکیب، یک انعکاس شدید در زوایای پایین و همچنین یک انعکاس پهن در زوایای بین  $20^\circ$  و  $30^\circ$  نشان می‌دهد که مؤید وجود ترکیب مزوحفراهی پایه است. پس از تلقیح فاز فلزی، از شدت انعکاس زاویه پایین کاسته می‌شود که این می‌تواند به دلیل به هم ریختن ساختار مزوحفراهی در حضور فاز فلزی باشد.

از آنجا که الگوی پودر به منزله اثر انگشت ساختار غربال مولکولی است، خلوص فاز و درصد کریستاله شدن غربال مولکولی تهیه شده را می‌توان از طریق مقایسه الگوی هر ساختار با الگوی استاندارد معین کرد. الگوهای XRD فازهای مزوحفره، پیک‌هایی در ناحیه زاویه کوچک نشان می‌دهند که قوی‌ترین پیک مربوط به انعکاس از صفحه  $d=100$  است.

الگوی پراش اشعه X نمونه‌های سنتزی Zr-HMS در شکل ۲ نشان داده شده است. در این الگو یک انعکاس در زاویه  $2\theta = 1.5-3^\circ$  مشاهده می‌شود که ساختار با درجه هگزاگونالی را تأیید می‌نماید. از طرفی هرچه مقدار زیرکونیوم در نمونه افزایش می‌یابد، پیک‌ها پهن‌تر می‌شوند که نشان‌دهنده کاهش نظم در ساختار با وارد کردن Zr است. شکل ۳ الگوی XRD مربوط به نمونه‌های سنتزی W-Zr-HMS است. مطابق شکل هیچ پیک قابل توجهی در الگوی XRD این نمونه‌ها به جز پیک مربوط به HMS دیده نمی‌شود که دلیل این امر



شکل ۲ الگوی XRD مربوط به Zr-HMS و HMS با نسبت‌های مولی مختلف.



شکل ۳ الگوی XRD مربوط به W/Zr-HMS با نسبت‌های مولی مختلف.

تهیه شده و حجم منافذ آنها با افزایش زیرکونیم و تنگستن افزایش می‌یابد. افزایش حجم منافذ می‌تواند ناشی از این حقیقت باشد که در مقادیر بالای زیرکونیم و تنگستن، بخشی از مزوحفرات متلاشی می‌شوند و حفرات بزرگی را تشکیل می‌دهند.

شکل ۴ تبدیل کاتالیزوری نرمآل هپتان در محدوده دمایی  $200^{\circ}\text{C}$ - $500^{\circ}\text{C}$  بر روی کاتالیزورهای  $\text{Pt}/\text{W}-\text{Zr}(\text{x})-\text{HMS}$  با سه نسبت مولی متفاوت را نشان می‌دهد.

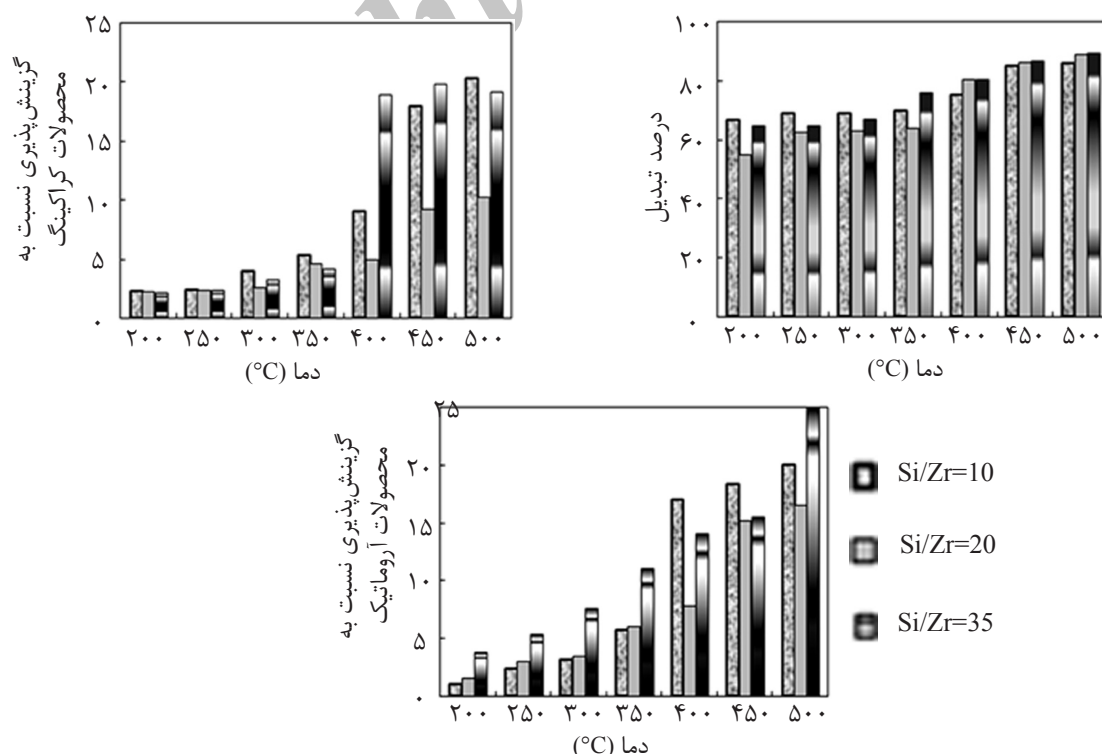
علاوه بر این انعکاسی مبنی بر وجود فاز فلزی مشاهده نشده است که دلیل این امر می‌تواند کم بودن مقدار فاز فلزی و یا پراکندگی بالای فاز فلزی باشد.

برای بررسی خواص بافتی پایه‌های حفره‌دار از جذب فیزیکی نیتروژن استفاده شد. رفتارهای جذب-واجذب این مواد مشابه‌اند. جدول ۱ مساحت سطح مزوحفره‌ها ( $\text{V}_{\text{meso}}$ ) و حجم آنها ( $\text{V}_{\text{meso}}$ ) را نشان می‌دهد. همان‌گونه که دیده می‌شود، همه پایه‌ها مساحت سطح بالایی دارند. مساحت سطح ویژه مواد

جدول ۱ خواص بافتی و اسیدی کاتالیزورهای مزوحفره سنتز شده.

نمونه	$S_{\text{BET}} (\text{m}^2 \text{g}^{-1})$	$S_{\text{meso}} (\text{m}^2 \text{g}^{-1})$	$V_{\text{meso}} (\text{cm}^3 \text{g}^{-1})$	$D_p^* (\text{nm})$	Acidity using $\text{NH}_3^{**} (\text{m mol/g})$	$***M_d$
HMS	818	570	0.151	4/5	0.110	78
Zr(10)-HMS	820	601	0.154	2/8	0.372	79
Zr(20)-HMS	844	616	0.169	2/5	0.364	80
Zr(35)-HMS	880	639	0.192	2/3	0.352	83
W-Zr(10)-HMS	700	541	0.130	2/8	0.482	75
W-Zr(20)-HMS	724	556	0.145	2/3	0.450	79
W-Zr(35)-HMS	760	579	0.168	2/4	0.431	84

\* قطر منفذ اندازه‌گیری شده با استفاده از روش جذب فیزیکی نیتروژن؛ \*\* اسیدیتۀ کل اندازه‌گیری شده با استفاده از دستگاه  $\text{NH}_3\text{-TPD}$ ؛ \*\*\* پراکندگی فلز فعال (پلاتین) اندازه‌گیری شده با استفاده از روش جذب شیمیایی هیدروژن.



شکل ۴ فعالیت و گزینش‌پذیری نسبت به محصولات آروماتیک و کراکینگ در ریفرمنینگ  $n$ -هپتان بر روی  $\text{Pt}/\text{W}-\text{Zr}(\text{x})-\text{HMS}$  با سه نسبت مولی متفاوت.

اسیدی مرحله تعیین‌کننده سرعت خواهد بود [۱۲]. انتظار می‌رود که کاتالیزورهای W-Zr-HMS به دلیل داشتن اسیدیتۀ بالا گزینش‌پذیری مطلوبی در واکنش آروماتیزاسیون نشان دهند. از طرف دیگر فرض بر این است که واکنش کراکینگ از طریق یک واکنش تکمولکولی (مکانیسم هاگ- دیساو) در ماهای بالا و تحت فشار کم آلkan بر روی مکان‌های اسیدی انجام می‌شود [۱۳ و ۱۴]. در این مکانیسم پروتونه شدن آلkan بر روی مکان‌های با اسیدیتۀ برون‌شتدی مرحله تعیین‌کننده سرعت برای همه آلkan‌های است. نتایج حاصل نشان می‌دهد که گزینش‌پذیری نسبت به محصولات کراکینگ با افزایش دما افزایش می‌یابد تا این که در یک دما، بسته به نوع کاتالیزور، به حداقل مقدار خود می‌رسد و از آن پس با افزایش دما روند کاهشی خواهد داشت، در حالی که برای محصولات آروماتیک در مورد همه کاتالیزورها گزینش‌پذیری با دما افزایش می‌یابد. با نگاهی به نتایج حاصل از کراکینگ و آروماتیزاسیون این گونه به نظر می‌رسد که نسبت Si/Zr رقابت بین این دو مسیر واکنشی را از طریق تغییر اسیدیتۀ ترکیب (تغییر تعداد، قدرت و نوع مکان‌های اسیدی) تحت تاثیر قرار می‌دهد. برای کاتالیزور با کمترین مقدار زیرکونیم (Si/Zr=35) که دارای کمترین مقدار اسیدیتۀ (هم از نظر تعداد و هم از نظر قدرت) است، آروماتیزاسیون با افزایش دما افزایش می‌یابد که این مسئله می‌تواند ناشی از این حقیقت باشد که برای انجام آروماتیزاسیون به مکان‌های با قدرت اسیدی کم نیاز است [۱۴]. در نتیجه در رقابت بین آروماتیزاسیون و کراکینگ با افزایش دما، که محرك هر دو واکنش است، آروماتیزاسیون مسیر غالب خواهد بود. در حالی که در محتوای بالای Zr طبیعت مکان‌های اسیدی (مکان برون‌شتد و مکان لوویس) تعیین‌کننده مسیر غالب انجام واکنش است.

همان‌طور که در این شکل مشاهده می‌شود، کاتالیزورهای سنترشده فعالیت بسیار بالایی (نزدیک ۱۰۰٪) دارند و برای همه کاتالیزورها فعالیت با دما به شکل خطی افزایش می‌یابد. در بخش دیگر این شکل گزینش‌پذیری نسبت به محصولات آروماتیک و هیدروکراکینگ بر حسب دما رسم شده است. مطابق با افزایش دما افزایش یافته است. این مسئله را می‌توان به متوالی بودن واکنش‌های صورت‌گرفته در تبدیل کاتالیزوری نسبت داد. ایزومریزاسیون در ماهای پایین و آروماتیزاسیون و هیدروکراکینگ در ماهای بالا بهتر روی می‌دهد و این بدین معناست که آروماتیزاسیون و هیدروکراکینگ واکنش‌های رقابتی هستند و دما و نسبت مولی Si/Zr این رقابت را تحت تاثیر قرار می‌دهد.

پژوهش‌های انجام‌شده در این زمینه نشان می‌دهند که ترکیبات آروماتیک از طریق دهیدروحلقه‌زایی<sup>۱</sup> هیدروکربن‌های اشباع تولید می‌شوند. دهیدروحلقه‌زایی واکنشی است که اساساً از طریق مکانیسم دوعلاملی و تحت شرایط ریفرمینگ پیش می‌رود. براساس این مکانیسم، ابتدا پارافین، بر روی مکان‌های فلزی، هیدروژن‌زدایی می‌شود و اولفین تولید می‌کند. اولفین تولیدشده با مهاجرت به مکان‌های اسیدی همسایه، پروتونه می‌شود و یون کربونیوم نوع دوم تولید می‌کند. یون مذکور بر روی مکان‌های اسیدی حلقوی می‌شود و اولفین‌های حلقوی با ۵ اتم کربن تولید می‌نماید. سپس بر روی مکان‌های اسیدی ایزومری می‌شود و حلقه پنج‌تایی به شش‌تایی تبدیل می‌گردد؛ از این طریق سیکلوهگزن و سیکلوهگزادی ان (با شاخه یا بدون شاخه) هیدروژنه می‌شود و هیدروکربن‌های آروماتیک تولید می‌کند. واکنش هیدروژن‌دار کردن- هیدروژن‌زدایی که روی مکان‌های فلزی انجام می‌شود، خیلی سریع‌تر از واکنش ایزومریزاسیون بر روی مکان‌های اسیدی است. در نتیجه ایزومریزاسیون بر روی مکان‌های

1. Dehydrocyclization

می‌رسد که رابطه خطی بین اسیدیته سطحی و فعالیت کاتالیزورها وجود ندارد و این بدین معناست که عوامل دیگری مثل خواص بافتی و عامل فلزی نیز بر فعالیت کاتالیزوری تاثیرگذاراند. جدول ۱ خواص بافتی کاتالیزورهای سنتزشده را نشان می‌دهد که نتایج حاصل را تأیید می‌کنند.

جدول ۲ گزینش‌پذیری نسبت به محصولات ایزومری بر حسب دما را نشان می‌دهد. نتایج حاصل مؤید این مطلب است که گزینش‌پذیری نسبت به محصولات ایزومری با افزایش دما کاهش می‌یابد. این کاهش گزینش‌پذیری را می‌توان به محدودیت ترمودینامیکی در واکنش ایزومریزاسیون با افزایش دما نسبت داد [۱۶]. این مسئله در توافق با این واقعیت است که واکنش‌های ایزومریزاسیون و هیدروکراکینگ/آروماتیزاسیون واکنش‌های متوالی هستند.

نتایج حاصل از بررسی محصولات ایزومره نشان می‌دهد که نسبت مولی ایزومرهای چندشاخه به تکشاخه بین ۰/۷ و ۱/۱ تغییر می‌کند. تشکیل ایزومرهای چندشاخه به دلیل اندازه مولکولی بزرگ‌تر به مرتب سخت‌تر از ایزومرهای تکشاخه است. در واقع تشکیل، نفوذ و واجذب این ترکیبات از میان حفرات اغلب کاتالیزورها مثل کاتالیزورهای زئولیتی بسیار سخت است که این مسئله موجب افزایش گزینش‌پذیری نسبت به محصولات کراکینگ می‌شود.

با توجه به گزارش‌های موجود در منابع، با کاهش نسبت Si/Zr، اسیدیته و همزمان با آن هر دو نوع مکان اسیدی برونشتد و لوویس افزایش می‌یابند. روند مشاهده شده در توافق با گزارش‌های موجود در منابع است که مطابق با این نتایج، افزایش اسیدیته لوویس گزینش‌پذیری نسبت به تولوئن را در واکنش ریفرمینگ-n-هپتان افزایش خواهد داد [۱۵]. در نتیجه در دماهای بالا رقابتی بین آروماتیزاسیون و کراکینگ وجود دارد که خواص کاتالیزورها از جمله اسیدیته، نوع مکان‌های اسیدی، جهت‌گیری فضایی کاتالیزور، پراکندگی فاز فلزی و همچنین توازن بین مکان‌های اسیدی فلزی بر این رقابت تاثیر می‌گذارند و ترکیبی از تمام خواص ذکر شده تعیین‌کننده مسیر یا مسیرهای غالب واکنش خواهد بود.

نتایج حاصل از بررسی کاتالیزور Pt/W-Zr(35)-HMS نشان می‌دهد که محصول اصلی در محدوده دمایی پایین ایزوهمپتان‌هاست و گزینش‌پذیری محصولات ایزومریزاسیون برای نسبت‌های متفاوت از Si/Zr به ترتیب زیر تغییر می‌کند:

$$\text{Si/Zr}=35 > \text{Si/Zr}=20 > \text{Si/Zr}=10$$

بر خلاف انتظار بالاترین فعالیت مربوط به کاتالیزور Pt/W-Zr(35)-HMS است که کمترین مقدار اسیدیته را دارد در حالی که رفتار دو کاتالیزور با نسبت ۱۰ و ۲۰ بر طبق مقدار اسیدیته موجود است. به نظر

جدول ۲ گزینش‌پذیری نسبت به محصولات ایزومره ریفرمینگ نرمال هپتان با استفاده از کاتالیزورهای Pt/W-Zr(x=10, 20 & 35)-HMS

محصولات (°C)	Pt/W-Zr(10)-HMS			Pt/W-Zr(20)-HMS			Pt/W-Zr(35)-HMS		
	تکشاخه	چندشاخه	تکشاخه	چندشاخه	تکشاخه	چندشاخه	تکشاخه	چندشاخه	چندشاخه
۲۰۰	۳۶/۷	۳۹/۱	۳۵/۵	۳۶/۴	۳۹/۸	۴۲/۹			
۲۵۰	۳۱/۵	۳۰/۹	۲۵/۷	۲۴/۸	۳۸/۹	۳۲/۸			
۳۰۰	۲۷/۱	۲۶/۵	۲۱/۹	۲۱/۳	۳۴/۵	۲۹/۵			
۳۵۰	۱۸/۸	۱۸/۶	۱۹/۰	۱۸/۴	۲۴/۶	۲۱/۸			
۴۰۰	۱۵/۳	۱۶/۰	۱۴/۷	۱۱/۴	۱۰/۵	۸/۳			
۴۵۰	۱۵/۲	۱۰/۳	۱۰/۳	۹/۱	۴/۹	۵/۱			
۵۰۰	۶/۳	۷/۸	۵/۵	۶/۰	۳/۹	۲/۸			

### نتیجه‌گیری

نتایج مربوط به واکنش‌های بررسی شده نشان از مؤثر بودن کاتالیزورهای مزوحفره تهیه شده در تبدیل کاتالیزوری نرمال هیتان دارد. فعالیت بالا و گزینش‌پذیری بسیار خوب این کاتالیزور نسبت به محصولات مطلوب (آромاتیک یا ایزومره، بسته به شرایط واکنش) در واکنش ریفرمینگ<sup>n</sup>-هیتان مشاهده شده است. نسبت Si/Zr در پایه‌های مزوحفره‌ای، تعیین‌کننده خواص اسیدی از جمله تعداد، قدرت و نوع مکان‌های اسیدی است. در این میان خواص اسیدی نقش بسیار مؤثری در تعیین گزینش‌پذیری نسبت به محصولات مختلف نشان می‌دهند. تولید ترکیبات ایزومری چندشاخه و همچنین عدم تشکیل بنزن از مزایای مهم کاتالیزورهای مزوحفره‌ای مذکور است. به نظر می‌رسد که ساختار مزوحفره و خواص اسیدی این ترکیبات تأثیر بسزایی در کارایی کاتالیزوری آنها داشته باشد. در واقع می‌توان فعالیت بالای این ترکیبات رابه عوامل زیر نسبت داد: (الف) سطح ویژه بالا که منجر به پراکندگی زیاد فاز فلزی می‌شود؛ (ب) وجود ساختار مزوحفره‌ای در ترکیبات که منجر به افزایش سرعت نفوذ، انتقال مواد واکنش‌دهنده و محصولات در منافذ کاتالیزور می‌گردد و (ج) وجود همزمان دو نوع مکان اسیدی برونشتاد و لوویس در این ترکیبات. مطابق گزارش‌های موجود در منابع، وجود همزمان این دو نوع مکان اسیدی به علت اثر سینرجیک (همکاری کننده) بین آنها، افزایش فعالیت کاتالیزوری را به همراه خواهد داشت.

### تشکر و قدردانی

نویسنده‌گان این مقاله لازم می‌دانند که از زحمات پژوهشکده کاتالیست پژوهشگاه صنعت نفت، برای راهنمایی و مشاوره بی‌دریغ، و همچنین پژوهشگاه صنعت نفت که امکانات خود را جهت انجام تست‌های موردنیاز در اختیارشان قرار داد، تشکر و قدردانی کنند.

در نتیجه وجود گزینش‌پذیری بالا نسبت به این محصولات در حضور کاتالیزورهای تهیه شده نشان‌دهنده اهمیت وجود حفرات با میانگین قطر مطلوب در کاتالیزورهای مزوحفره‌ای است. مکانیسم تشکیل محصولات تکشاخه و چندشاخه درخصوص واکنش بر روی زئولیت‌ها نشان می‌دهد که طی واکنش ایزومریزاسیون، در درصد تبدیل‌های پایین، ایزومرهای تکشاخه محصول غالب هستند که مقدارشان با افزایش درصد تبدیل افزایش می‌یابد. در حالی که در درصد تبدیل‌های بالا، ماکریزم محصول ایزومری مربوط به ایزومرهای چندشاخه است و با توجه به این یافته‌ها محققان بیان کردند که محصولات تکشاخه محصول اولیه فرآیند ایزومریزاسیون و محصولات چندشاخه محصول ثانویه و حاصل تبدیل محصولات تکشاخه به چندشاخه هستند<sup>[۱۷]</sup>. در حالی که در داده‌های تجربی این پژوهش، چنین روندی مشاهده نگردید. در نتیجه می‌توان گفت که در فرآیند ایزومریزاسیون توسط کاتالیزورهای W-Zr-HMS، هم محصول تکشاخه و هم چندشاخه از حد واسطه مشابهی حاصل می‌شوند و تنها تفاوت در سرعت تشکیل است. بنابراین، سرعت تشکیل محصول تکشاخه گزینش‌پذیری نسبت به ایزوبوتان با افزایش دما کاهش می‌یابد، در حالی که برای <sup>n</sup>-بوتان این روند عکس است. براساس اطلاعات موجود در منابع، کراکینگ ۲ و ۳-دی متیل پنتان و ۲ یا ۳-متیل هگزان موجب تشکیل <sup>n</sup>-بوتان و پروپان می‌گردد؛ در صورتی که کراکینگ ۲ و ۲-دی متیل پنتان و ۲ و ۴-دی متیل پنتان موجب تشکیل ایزوبوتان و پروپان می‌شود<sup>[۱۸]</sup> و <sup>[۱۹]</sup>. این نتایج نشان‌دهنده آن هستند که در محدوده دمایی موردمطالعه ۲ و ۳-دی متیل پنتان پایدارتر از ۲ و ۲-دی متیل پنتان و ۲ و ۴-دی متیل پنتان است که این مسئله با توزیع محصولات چندشاخه توافق دارد. همچنین محصولات آروماتیک نیز در توزیع محصولات مشاهده می‌گردد.

## مراجع

- [1]. Hamoule T., Peyrovi M. H., Rashidzadeh M. and Toosi M. R., "Catalytic reforming of *n*-heptane over Pt/Al-HMS catalysts," *Catal. Commun.*, Vol. 16, No. 1, pp. 234–239, 2011.
- [2]. Okuhara T., Mizuno N. and Misono M., "Catalysis by heteropoly compounds—recent developments," *Appl. Catal. A: Gen.*, Vol. 222, No. 1, pp. 63-77, 2001.
- [3]. Misono M., "A view on the future of mixed oxide catalysts: The case of heteropolyacids (polyoxometalates) and perovskites," *Catal. Today*, Vol. 100, No. 1, pp. 95-100, 2005.
- [4]. Chimienti M. E., Pizzio L. R., Cáceres C. V. and Blanco M. N., "Tungstophosphoric and tungstosilicic acids on carbon as acidic catalysts," *Appl. Catal. A: Gen.*, Vol. 208, No. 1, pp. 7-19, 2001.
- [5]. Udayakumar S., Ajaikumar S. and Pandurangan A., "Synthesis of commercial important diethyl phthalate over Al-, Fe-and Al, Zn-MCM-41 molecular sieves," *Appl. Catal. A: Gen.*, Vol. 307, No. 2, pp. 245-256, 2006.
- [6]. Calleja G., Aguado J., Carrero A. and Moreno J., "Chromium supported onto swelled Al-MCM-41 materials: a promising catalysts family for ethylene polymerization," *Catal. Commun.*, Vol. 6, No. 2, pp. 153-157, 2005.
- [7]. De Stefanis A., Kaciulis S. and Pandolfi L., "Preparation and characterization of Fe-MCM-41 catalysts employed in the degradation of plastic materials," *Micropor. Mesopor. Mater.*, Vol. 99, No. 1, pp. 140-148, 2007.
- [8]. Gläser R. and Weitkamp J., "The application of zeolites in catalysis. In Basic Principles in Applied Catalysis," Springer, Berlin Heidelberg, pp. 159-212, 2004.
- [9]. Yang X.L., Dai W.L., Chen H., Xu J.H., Cao Y., Li H. and Fan K., "Novel tungsten-containing mesoporous HMS material: its synthesis, characterization and catalytic application in the selective oxidation of cyclopentene to glutaraldehyde by aqueous  $H_2O_2$ ," *Appl. Catal. A: Gen.*, Vol. 283, No. 1, pp. 1-8, 2005.
- [10]. Zhou W., Ross-Medgaarden E. I., Knowles W. V., Wong M. S., Wachs I. E. and Kiely C. J., "Identification of active Zr-WO<sub>x</sub> clusters on a ZrO<sub>2</sub> support for solid acid catalysts," *Nature Chem.* Vol. 1, No. 9, pp. 722-728, 2009.
- [11]. Li T., Wong S. T., Chao M. C., Lin H. P., Mou C. Y. and Cheng S., "*n*-Pentane isomerization over platinum-promoted W/Zr mixed oxides supported on mesoporous silica," *Appl. Catal. A: Gen.*, Vol. 261, No. 2, pp. 211-219, 2004.
- [12]. Mazzieri V. A., Grau J. M., Vera C. R., Yori J. C., Parera J. M. and Pieck C. L., "Role of Sn in Pt-Re-Sn/Al<sub>2</sub>O<sub>3</sub>-Cl catalysts for naphtha reforming," *Catal. Today*, Vol. 107, pp. 643-650, 2005.
- [13]. Katada N., Suzuki K., Noda T., Miyatani W., Taniguchi F. and Niwa M., "Correlation of the cracking activity with solid acidity and adsorption property on zeolites," *Appl. Catal. A: Gen.*, Vol. 373, pp. 208-213, 2010.
- [14]. Kotrel S., Knözinger H. and Gates B. C., "The Haag-Dessau mechanism of protolytic cracking of alkanes," *Micropor. Mesopor. Mater.*, Vol. 35, No. 1, pp. 11-20, 2000.
- [15]. Epron F., Carnevillier C. and Marécot P., "Catalytic properties in *n*-heptane reforming of Pt-Sn and Pt-Ir-Sn/Al<sub>2</sub>O<sub>3</sub> catalysts prepared by surface redox reaction," *Appl. Catal. A: Gen.*, Vol. 295, No. 2, pp. 157-169, 2005.
- [16]. Viswanadham N., Kamble R., Saxena S. K. and Garg M. O., "Studies on octane boosting of industrial feed

stocks on Pt/H-BEA zeolite," Fuel, Vol. 87, No. 12, pp. 2394-2400, 2008.

[17] Patrigeon A., Benazzi E., Travers C. and Bernhard J. Y., "Influence of the zeolite structure and acidity on the hydroisomerization of *n*-heptane," Catal. Today, Vol. 65, No. 2, pp. 149-155, 2001.

[18] Wang J. A., Zhou X. L., Chen L. F., Norena L. E., Yu G. X. and Li C. L., "Hydroisomerization of *n*-heptane on the Pt/H<sub>3</sub>PW<sub>12</sub>O<sub>40</sub>/Zr-MCM-41 catalysts," J. Mol. Catal. A: Chem., Vol. 299, No. 1, pp. 68-76, 2009.

[19] Wang J. A., Chen L. F., Noreña L. E., Navarrete J., Llanos M. E., Contreras J. L. and Novaro O., "Mesoporous structure, surface acidity and catalytic properties of Pt/Zr-MCM-41 catalysts promoted with 12-tungstophosphoric acid," Micropor. Mesopor. Mater., Vol. 112, No. 1, pp. 61-76, 2008.

Archive of SID